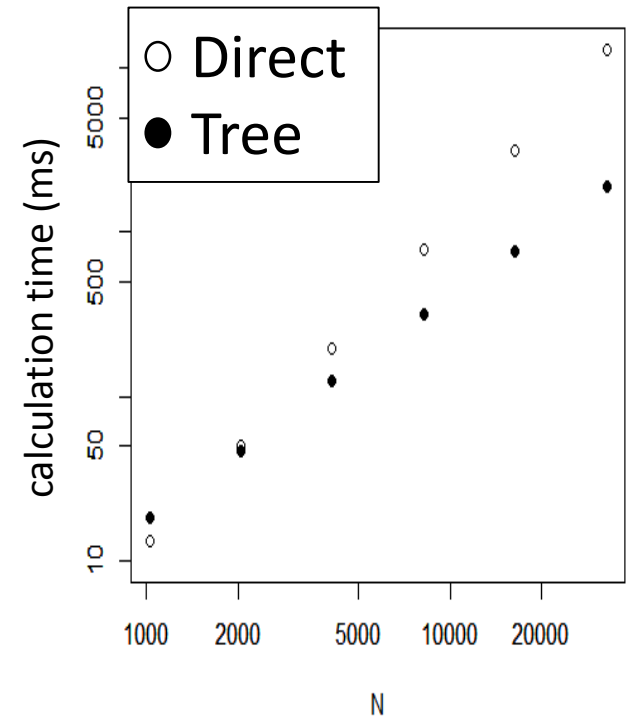
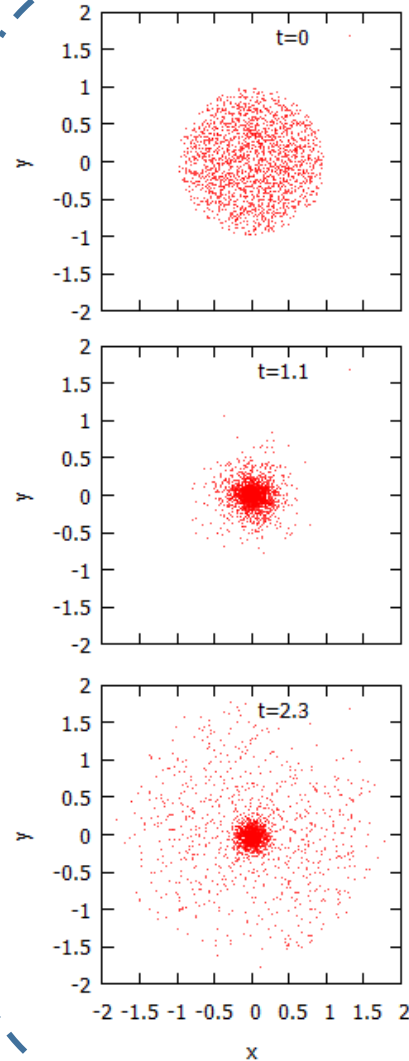


# 銀河形成シミュレーションに向けて

筑波大学 理工学群 物理学類4年 藤原隆寛

# 銀河形成シミュレーション

- N体重力計算
  - Tree法
- 流体計算
  - SPH法
- 放射冷却
- 星形成
- 超新星爆発



# 流体の基礎方程式(ラグランジュ形式)

$$\frac{d\rho}{dt} = -\rho \nabla \cdot \mathbf{v}$$

$$\frac{d\mathbf{v}}{dt} = -\frac{1}{\rho} \nabla P$$

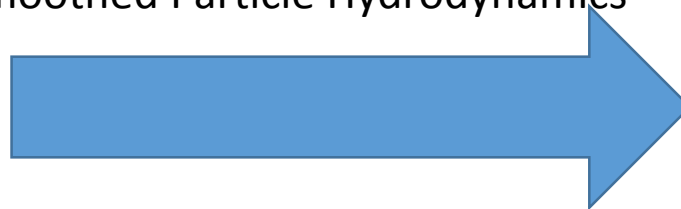
$$\frac{du}{dt} = -\frac{P}{\rho} \nabla \cdot \mathbf{v}$$

$$P = (\gamma - 1)\rho u$$

$\rho$ : 密度  
 $\mathbf{v}$ : 速度  
 $P$ : 圧力  
 $u$ : 単位質量当たりの内部エネルギー  
 $\gamma$ : 比熱比

## SPH法

Smoothed Particle Hydrodynamics



# SPH法

- 粒子法的な流体計算法
- ラグランジュ的描像
- 宇宙物理学の分野で幅広く使用されている

今回参考にした論文等

- Monaghan (1992)
- Hernquist & Katz (1989)
- Springel (2010)

# SPH法の長所と短所

## • 長所

- 高密度領域で高解像度
- N体重力計算との組み合わせが容易
- アルゴリズムが易しい
- 多次元化が容易

## • 短所

- 低密度領域で低解像度
- 不連続面が適切に扱えない
- 計算が破綻しにくいので間違っているにも気づきにくい

# 定式化

- ある位置 $\mathbf{r}$ における物理量 $F_s(\mathbf{r})$ を, カーネル関数 $W(\mathbf{r}, h)$ を用いて, 次のように表す.

$$F_s(\mathbf{r}) = \int d\mathbf{r}' F(\mathbf{r}') W(\mathbf{r} - \mathbf{r}', h)$$

- 離散化  $\Delta\mathbf{r}_i \sim m_i/\rho_i$

$$F_s(\mathbf{r}) \cong \sum_i \frac{m_i}{\rho_i} F_i W(\mathbf{r} - \mathbf{r}_i, h), \quad F_i = F(\mathbf{r}_i)$$

- 密度

$$\rho_s(\mathbf{r}) \cong \sum_i m_i W(\mathbf{r} - \mathbf{r}_i, h)$$

# 微分

$$\nabla F_S(\mathbf{r}) = \int d\mathbf{r}' \{ \nabla' F(\mathbf{r}') \} W(\mathbf{r} - \mathbf{r}', h)$$

$$|\mathbf{r}| \rightarrow \infty \Rightarrow W(\mathbf{r}, h) \rightarrow 0$$

$$= - \int d\mathbf{r}' F(\mathbf{r}') \nabla' W(\mathbf{r} - \mathbf{r}', h)$$

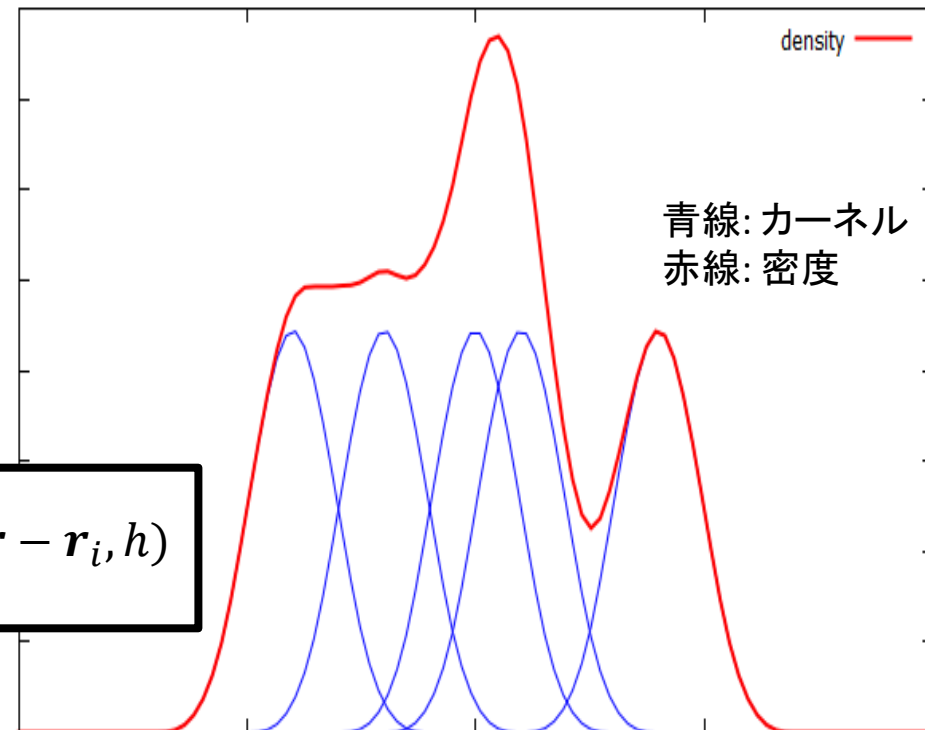
$$= \int d\mathbf{r}' F(\mathbf{r}') \nabla W(\mathbf{r} - \mathbf{r}', h)$$

$$\Rightarrow \nabla F_S(\mathbf{r}) \cong \sum_i \frac{m_i}{\rho_i} F_i \nabla W(\mathbf{r} - \mathbf{r}_i, h)$$

# カーネル関数 $W(\mathbf{r}, h)$

- 個々のSPH粒子の広がりを表す
- $h$ : smoothing length. カーネル関数の広がりを表すパラメータ
- $h \rightarrow 0$  で  $W(\mathbf{r}, h) \rightarrow \delta^3(\mathbf{r})$
- $|\mathbf{r}| \rightarrow \infty$  で  $W(\mathbf{r}, h) \rightarrow 0$
- $\int d\mathbf{r} W(\mathbf{r}, h) = 1$

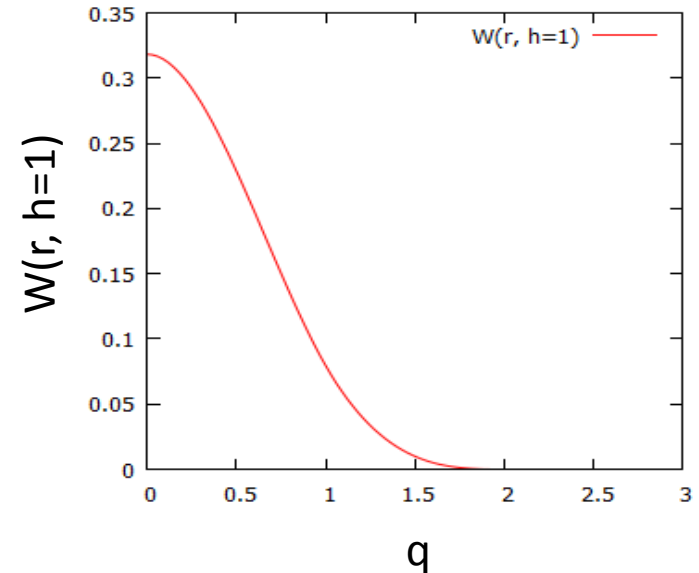
$$\rho_s(\mathbf{r}) \cong \sum_i m_i W(\mathbf{r} - \mathbf{r}_i, h)$$





# カーネル関数 $W(\mathbf{r}, h)$

- 球対称 ( $W(\mathbf{r}, h) = W(|\mathbf{r}|, h)$ )
- Gauss関数やSpline関数を使用



- *cubic spline (3D)*

$$W(\mathbf{r}, h) = \frac{3}{2\pi h^3} \begin{cases} \frac{2}{3} - q^2 + \frac{1}{2}q^3 & (0 \leq q < 1) \\ \frac{1}{6}(2 - q)^3 & (1 \leq q < 2) \\ 0 & (q \geq 2) \end{cases}$$

$$q = \frac{|\mathbf{r}|}{h}$$

# 流体の基礎方程式(ラグランジュ形式)

$$\frac{d\rho}{dt} = -\rho \nabla \cdot \mathbf{v} \quad \longrightarrow \quad \rho(\mathbf{r}) = \sum_i m_i W(\mathbf{r} - \mathbf{r}_i, h)$$

$$\frac{d\mathbf{v}}{dt} = -\frac{1}{\rho} \nabla P$$

$$\frac{du}{dt} = -\frac{P}{\rho} \nabla \cdot \mathbf{v}$$

$$P = (\gamma - 1)\rho u$$

$\rho$ : 密度

$\mathbf{v}$ : 速度

$P$ : 圧力

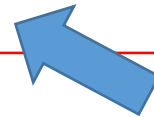
$u$ : 単位質量当たりの内部エネルギー

$\gamma$ : 比熱比

- 運動方程式

$$\frac{d\mathbf{v}}{dt} = -\frac{1}{\rho} \nabla P = -\left( \frac{P}{\rho^2} \nabla \rho + \nabla \left( \frac{P}{\rho} \right) \right)$$

$$\frac{d\mathbf{v}_i}{dt} = - \sum_j m_j \left\{ \frac{P_i}{\rho_i^2} + \frac{P_j}{\rho_j^2} \right\} \nabla_i W(\mathbf{r}_i - \mathbf{r}_j, h)$$



対称性. 作用反作用

- エネルギー方程式

$$\frac{du}{dt} = -\frac{P}{\rho} \nabla \cdot \mathbf{v} = -\frac{P}{\rho^2} \nabla \cdot (\rho \mathbf{v}) + \frac{P}{\rho^2} \mathbf{v} \cdot \nabla \rho$$

$$\frac{du_i}{dt} = \frac{P_i}{\rho_i^2} \sum_j m_j (\mathbf{v}_i - \mathbf{v}_j) \cdot \nabla_i W(\mathbf{r}_i - \mathbf{r}_j, h)$$

# 人工粘性(Artificial Viscosity)

- 衝撃波を扱うために必要な散逸を記述
- 粒子の突き抜けを防ぐ

これらの項を  
方程式に追加

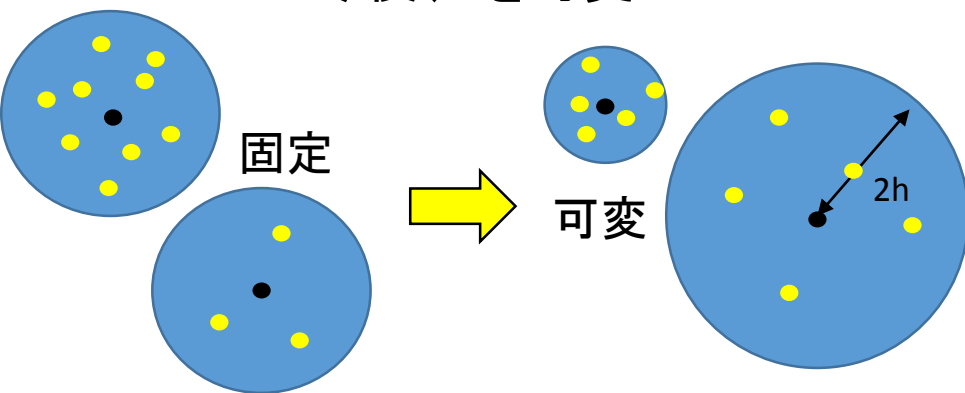
$$\begin{aligned}\frac{d\mathbf{v}_i}{dt}\Big|_{visc} &= - \sum_j m_j \Pi_{ij} \nabla_i W(\mathbf{r}_i - \mathbf{r}_j, h) \\ \frac{du_i}{dt}\Big|_{visc} &= \frac{1}{2} \sum_j m_j \Pi_{ij} (\mathbf{v}_i - \mathbf{v}_j) \cdot \nabla_i W(\mathbf{r}_i - \mathbf{r}_j, h)\end{aligned}$$
$$\Pi_{ij} = \begin{cases} (-\alpha c_{ij} \mu_{ij} + \beta \mu_{ij}^2) / \rho_{ij}, & (\mathbf{v}_i - \mathbf{v}_j) \cdot (\mathbf{r}_i - \mathbf{r}_j) < 0 \\ 0, & \text{otherwise} \end{cases}$$

$$\mu_{ij} = \frac{h(\mathbf{v}_i - \mathbf{v}_j) \cdot (\mathbf{r}_i - \mathbf{r}_j)}{(\mathbf{r}_i - \mathbf{r}_j)^2 + \epsilon h^2}$$

$c_{ij}, \rho_{ij}$ : 音速, 密度の平均値  
 $\alpha, \beta, \epsilon$ : パラメータ  
 $\alpha = 1.0, \quad \beta = 2\alpha,$   
 $\epsilon = 0.01$

# その他

- Smoothing length:  $h$ 
  - 今回は時間的・空間的に固定の $h$ を使用
  - ⇒ 高密度領域で近傍粒子数大, 低密度領域で近傍粒子数小となってしまう.
  - ⇒ 今後、 $h$ を可変にしたい



## • 時間ステップ

- 波によって情報が伝わるため, 粒子が近傍粒子からの情報を受け取る時間より, 短い時間ステップ $\Delta t$ にする必要がある (Courant条件)

$$\Delta t = \min\left\{C_{CFL} \frac{h}{c_i}\right\},$$

$c_i$ : 音速

$$C_{CFL} = 0.3$$

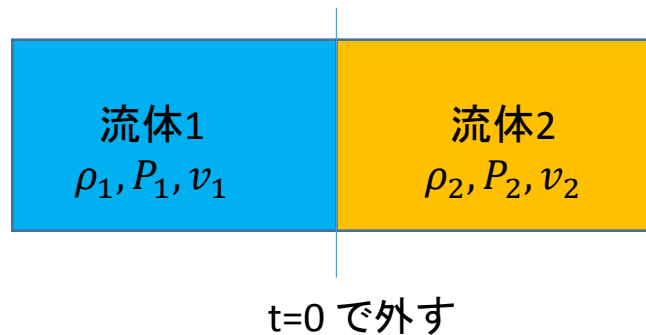
## • 時間積分

- 2次のRunge-Kutta法を使用

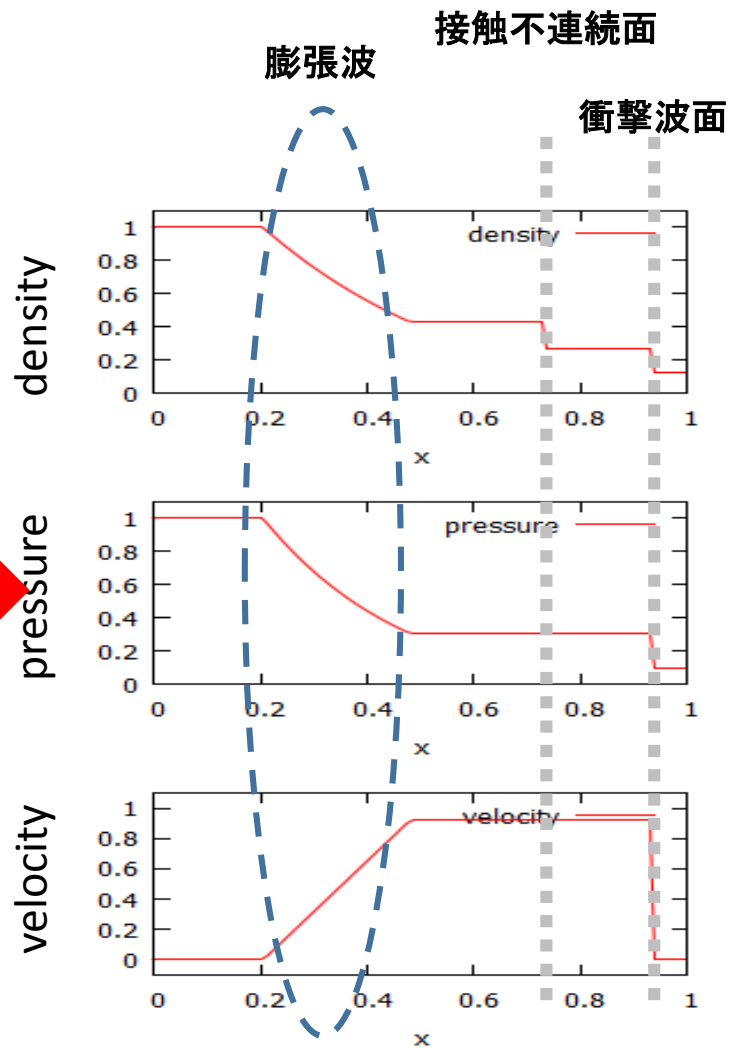
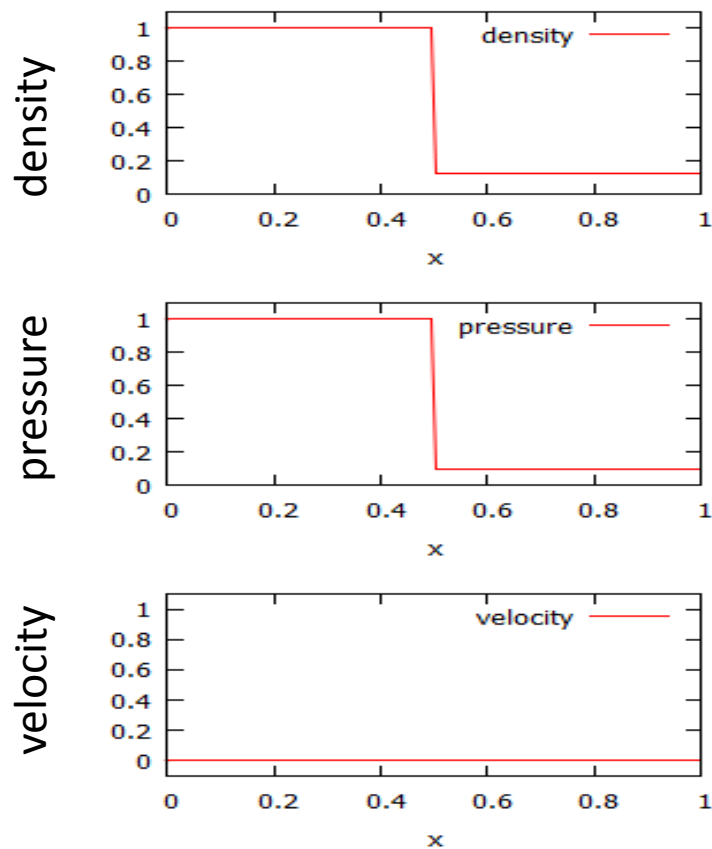
# 1D Test Problems

- リーマン問題

- 異なる密度, 圧力, 速度を持つ流体1と流体2が薄膜で仕切られている.
- $t=0$  でその仕切りを外したあとの, 流体の時間発展は厳密に求めることができる.



# リーマン問題

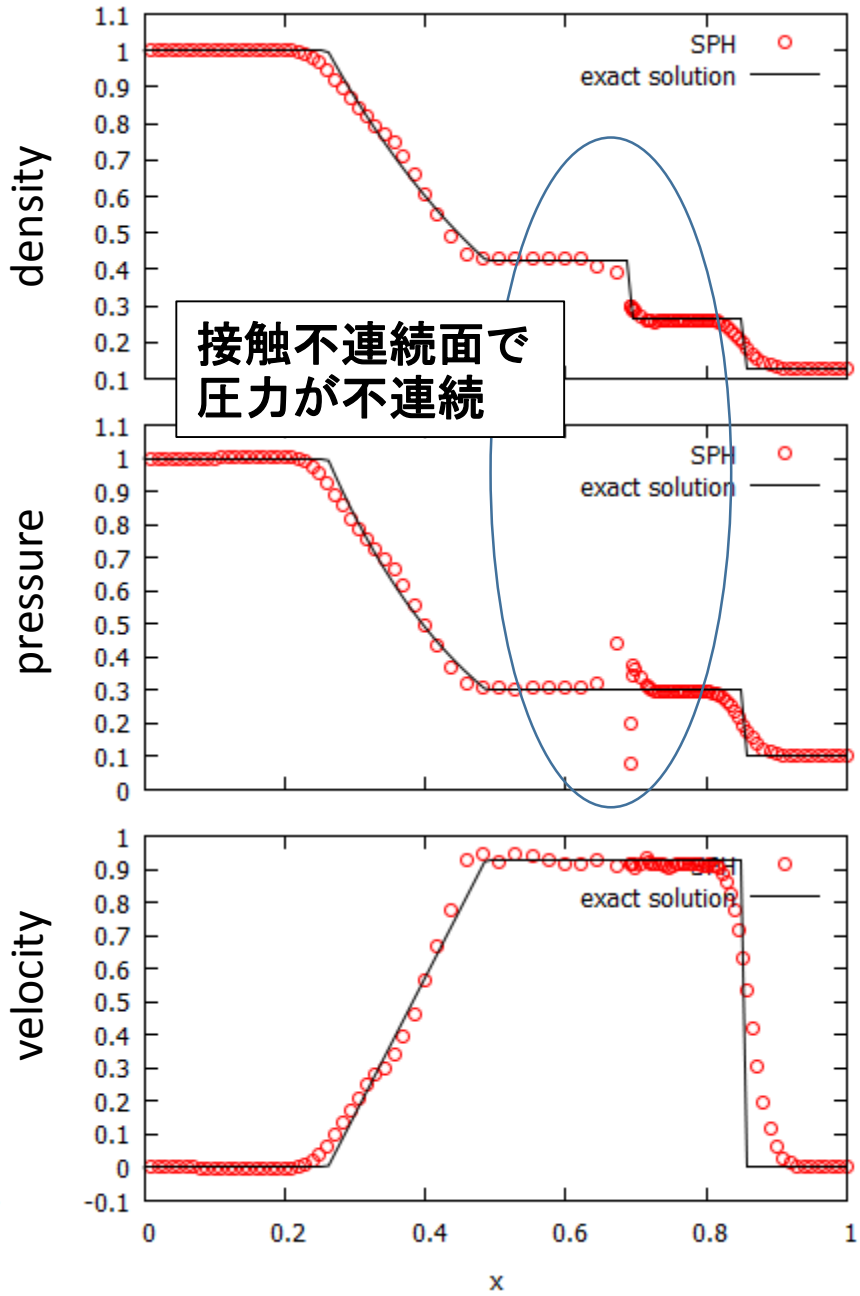
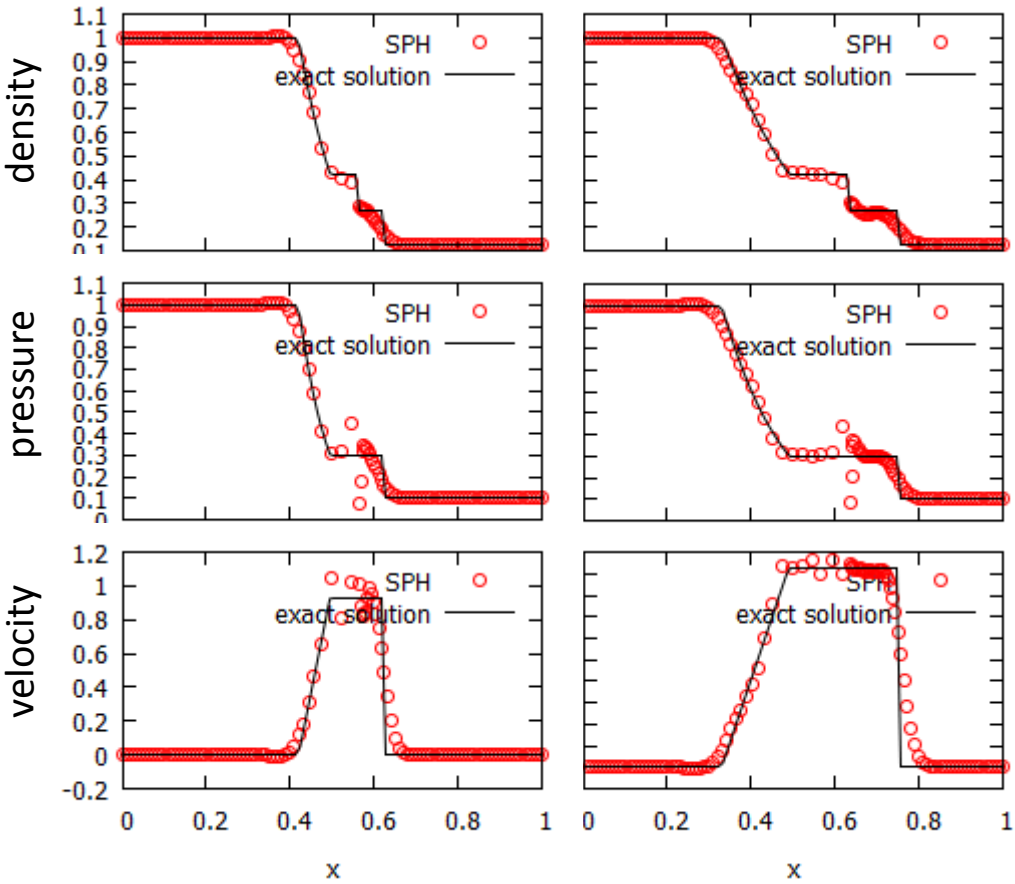


# Problem 1 (弱い衝撃波)

	LEFT	RIGHT
密度	1.0	0.125
圧力	1.0	0.1
速度	0.0	0.0

$\gamma = 1.4$

左から  
 $t = 0.068, 0.14, 0.20$



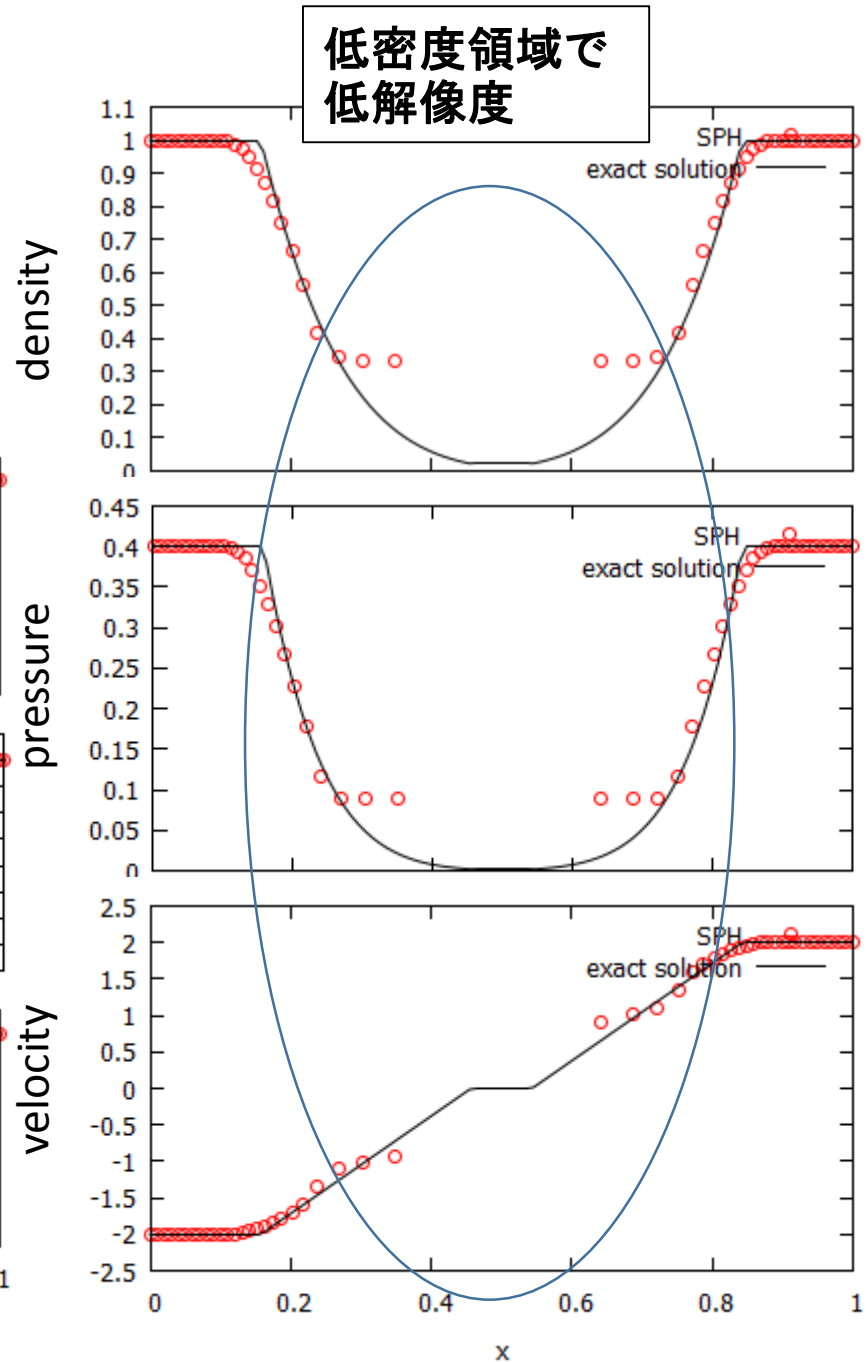
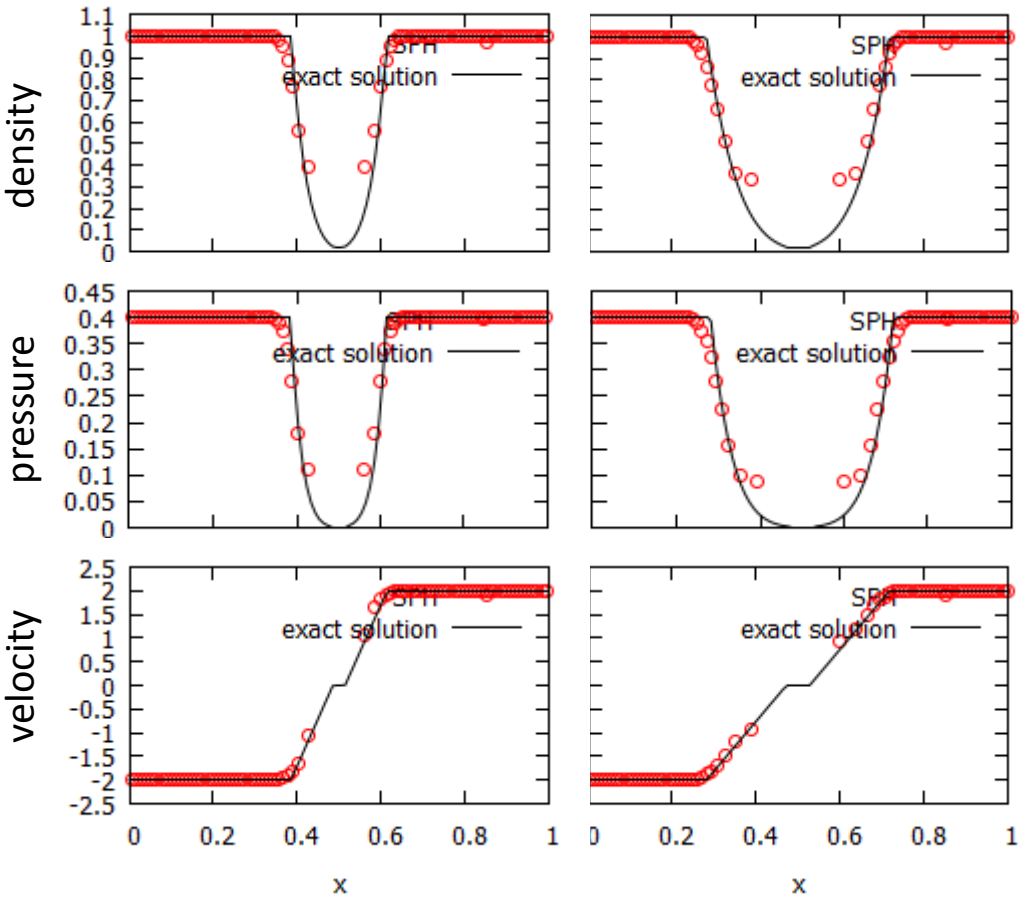


# Problem 2 (流体を引き裂く)

	LEFT	RIGHT
密度	1.0	1.0
圧力	0.4	0.4
速度	-2.0	2.0

$\gamma = 1.4$

左から  
 $t = 0.041, 0.079, 0.12$



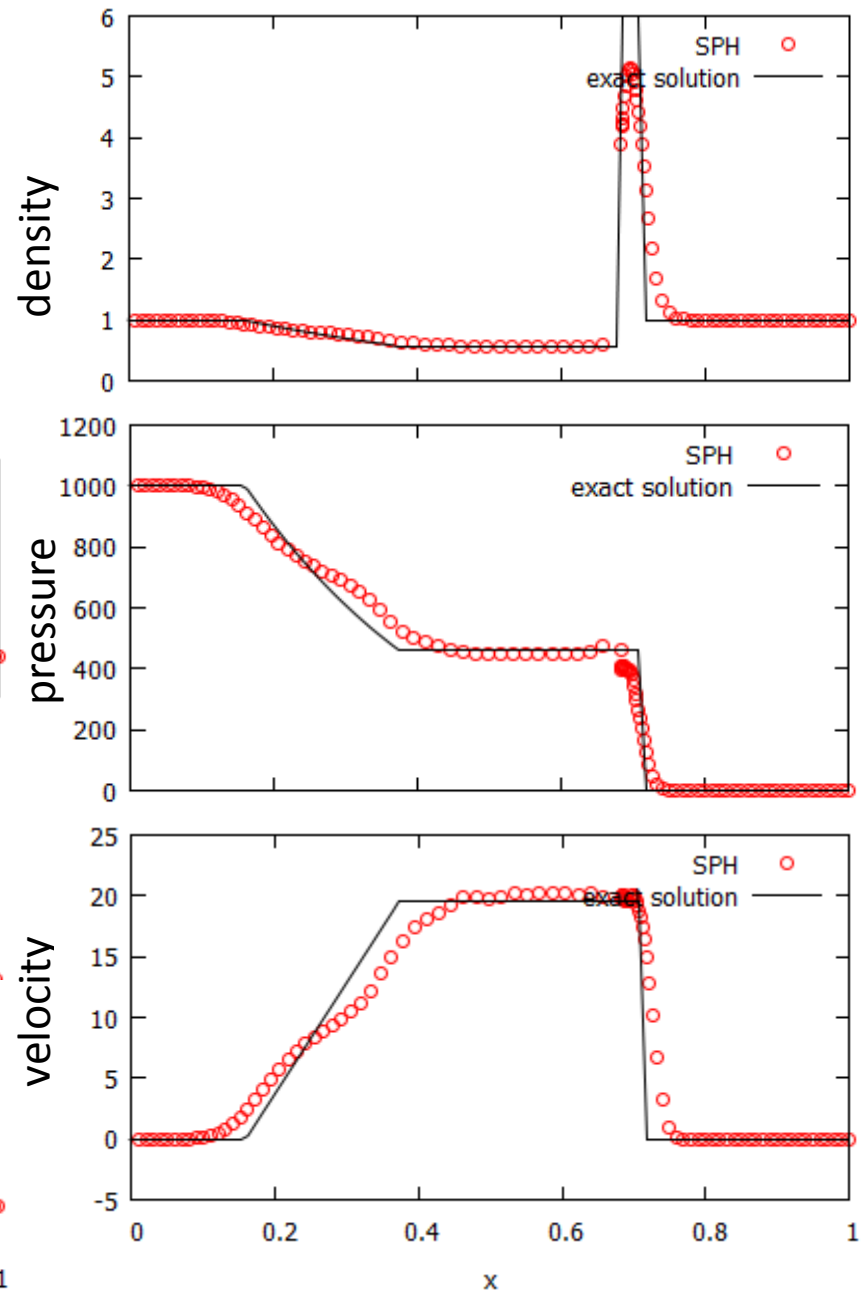
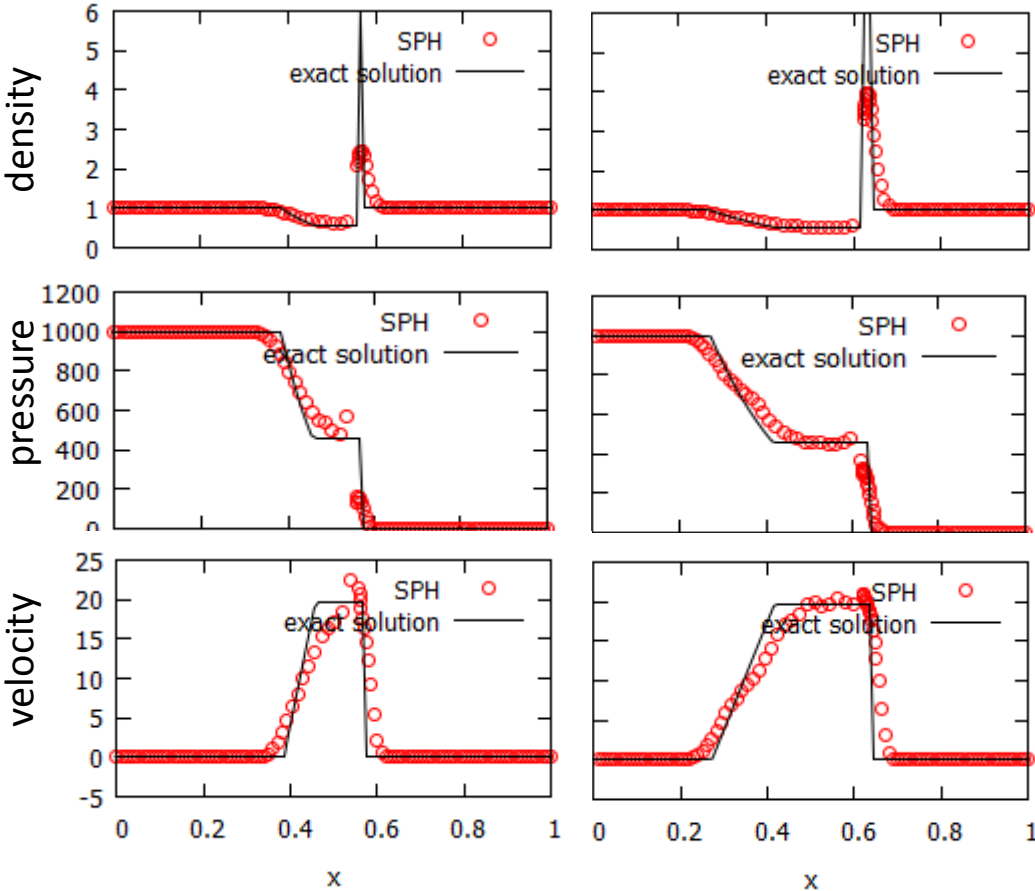
# Problem 3 (強い衝撃波)

	LEFT	RIGHT
密度	1.0	1.0
圧力	1000	0.01
速度	0.0	0.0

$$\gamma = 1.4$$

左から

$t = 0.0031, 0.0061, 0.0091$

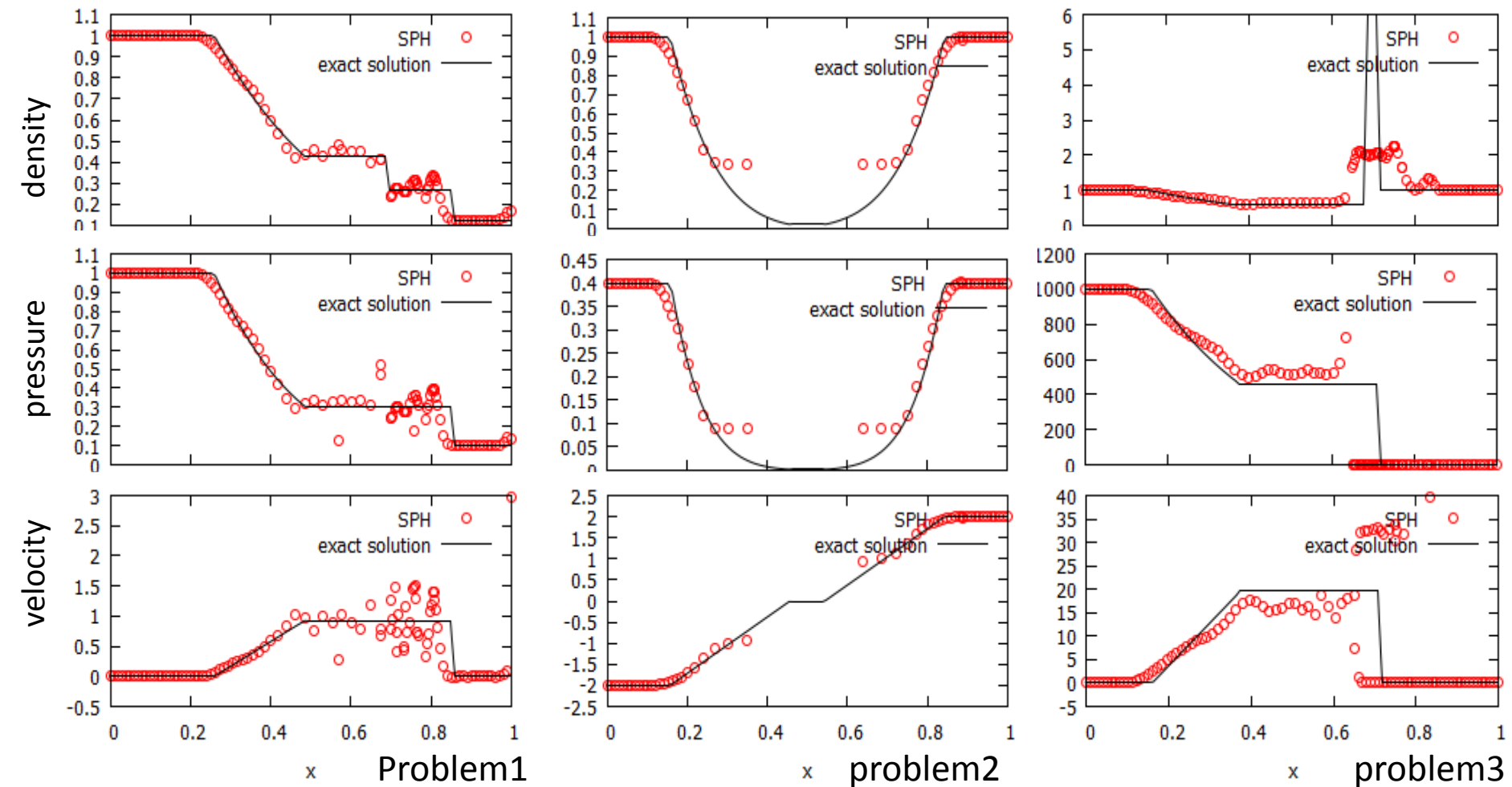


# Test1: 人工粘性を外す

Problem1    problem2    problem3

$\gamma = 1.4$

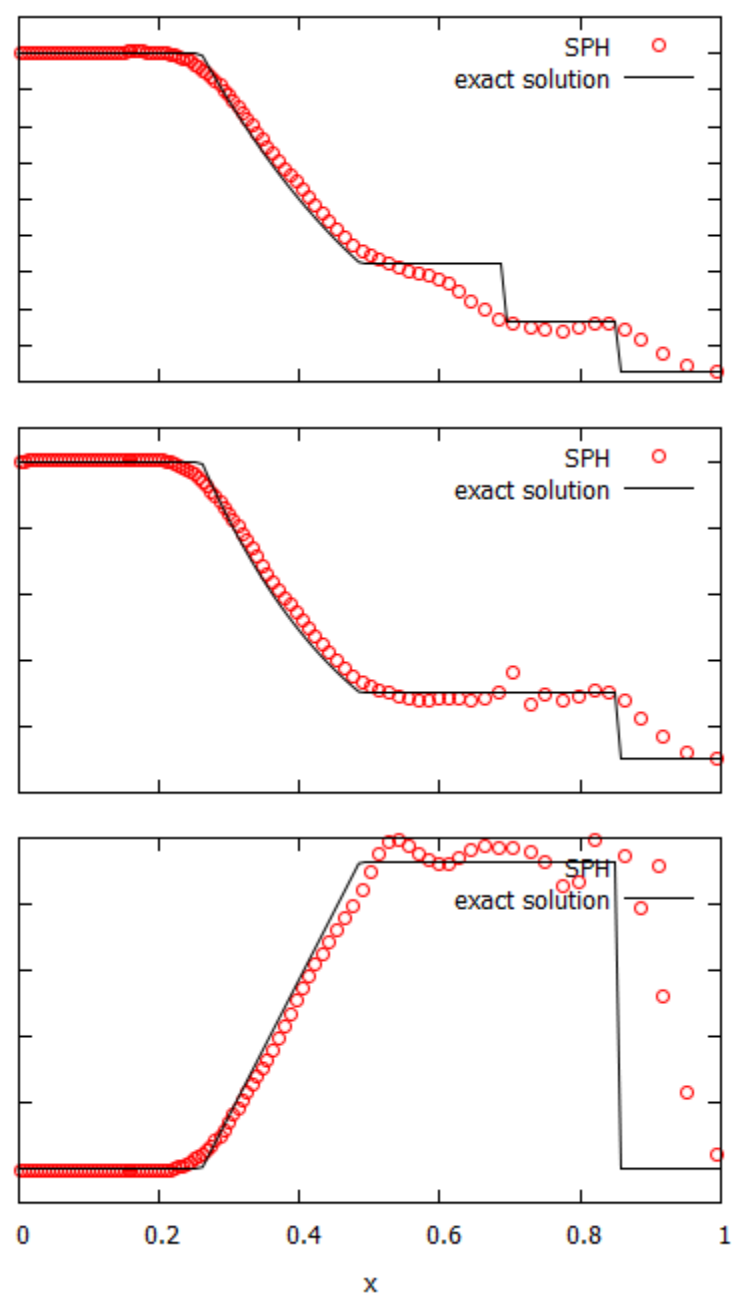
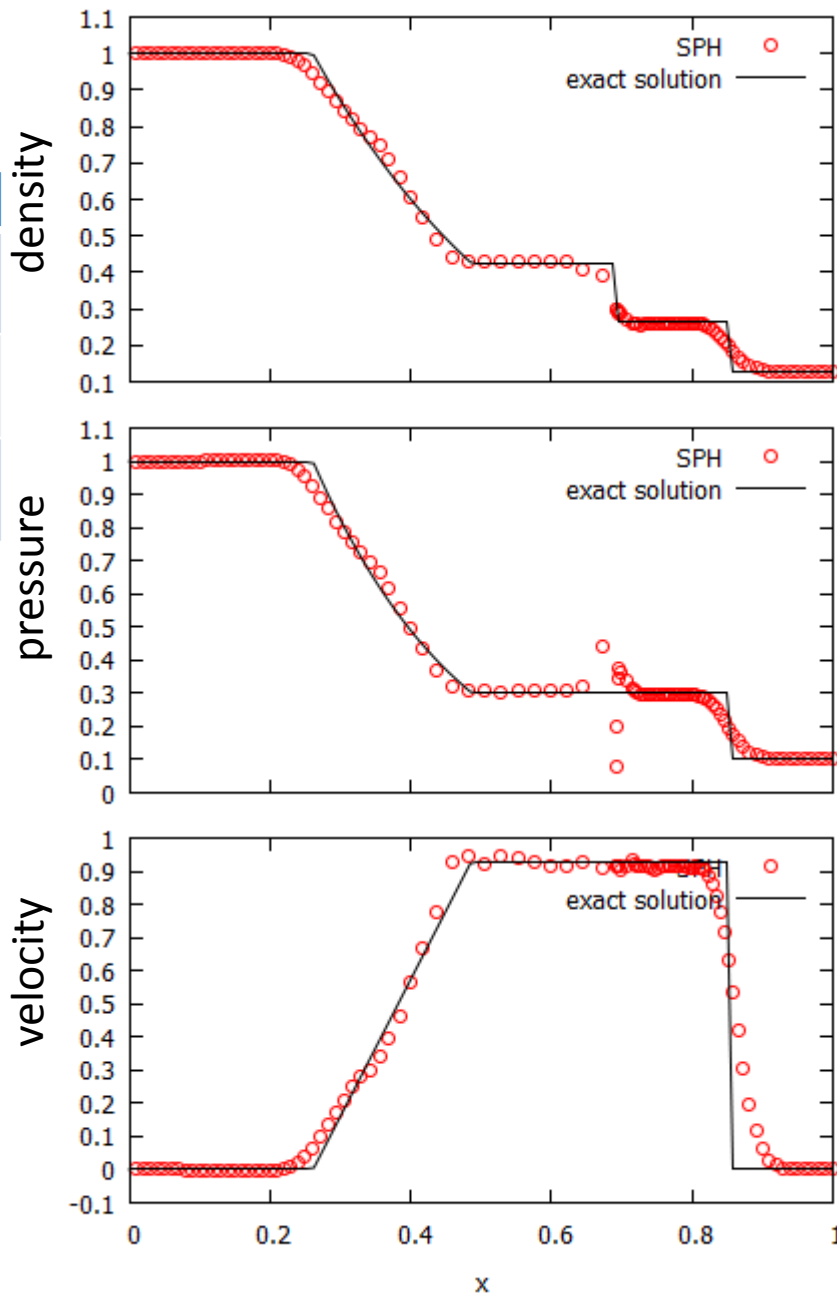
	LEFT	RIGHT	LEFT	RIGHT	LEFT	RIGHT
密度	1.0	0.125	1.0	1.0	1.0	1.0
圧力	1.0	0.1	0.4	0.4	1000	0.01
速度	0.0	0.0	-2.0	2.0	0.0	0.0



# Test2: 粒子数で初期密度を変化

- Problem1(弱い衝撃波) はSPH粒子の持つ質量で密度を設定していた
  - ⇒それぞれのSPH粒子の持つ質量を一定にし, 粒子間隔を変えて密度を設定
  - ⇒LEFTの粒子間隔をRIGHTの $1/8$

	LEFT	RIGHT
密度	1.0	0.125
压力	1.0	0.1
速度	0.0	0.0
$\gamma = 1.4$		



# 3D Test Problem

- Evrard collapse

$$\rho = \frac{M_T}{2\pi R^2} \frac{1}{r}, \quad u = \frac{0.05 G M_T}{R}, \quad \gamma = \frac{5}{3}$$

$$N = 4096, \quad \epsilon = 0.1$$

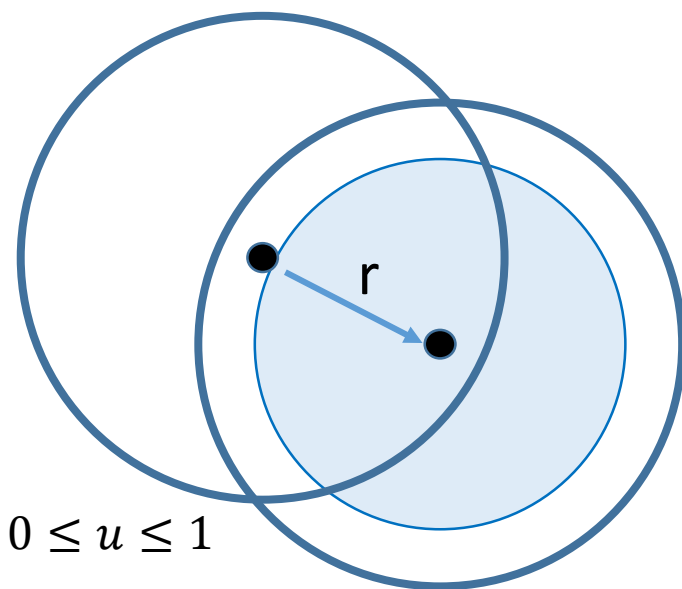
$$G = M_T = R = 1$$

$\rho$ : 密度  
 $u$ : 単位質量当たり熱エネルギー  
 $\gamma$ : 比熱比  
 $N$ : 粒子数  
 $M_T$ : 全質量  
 $R$ : ガス球の半径  
 $\epsilon$ : ソフトニングパラメータ

# 重力ソフトニング

- カーネル関数を用いてソフトニング

$$\begin{aligned}
 \mathbf{a}_{grav} &= \begin{cases} -\frac{Gm\mathbf{r}}{\epsilon^3} \cdot 4\pi \int_0^r dr' r'^2 W(\mathbf{r}', h), & 0 \leq u \leq 1 \\ -\frac{Gm\mathbf{r}}{r^3} \cdot 4\pi \int_0^r dr' r'^2 W(\mathbf{r}', h), & u > 1 \end{cases} \\
 &= \begin{cases} -\frac{Gm\mathbf{r}}{\epsilon^3} \left[ \frac{4}{3} - \frac{6}{5}u^2 + \frac{1}{2}u^3 \right], & 0 \leq u \leq 1 \\ -\frac{Gm\mathbf{r}}{r^3} \left[ -\frac{1}{15} + \frac{8}{3}u^3 - 3u^4 + \frac{6}{5}u^5 - \frac{1}{6}u^6 \right], & 1 < u \leq 2 \\ -\frac{Gm\mathbf{r}}{r^3}, & u > 2 \end{cases}
 \end{aligned}$$



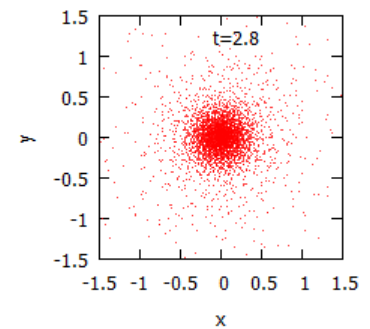
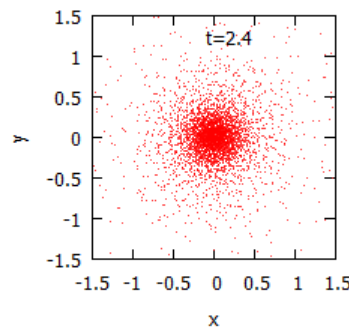
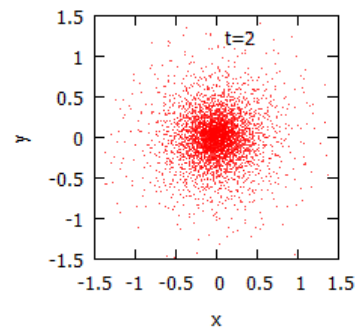
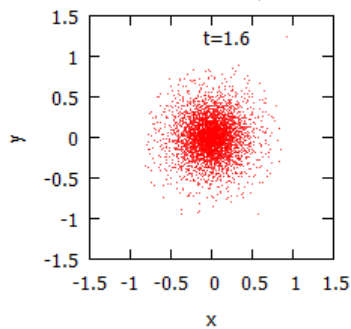
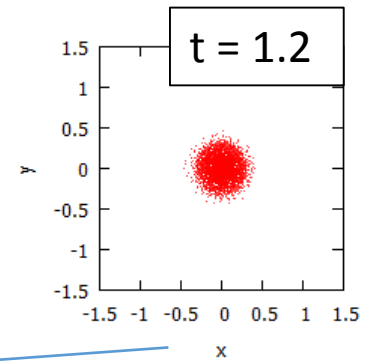
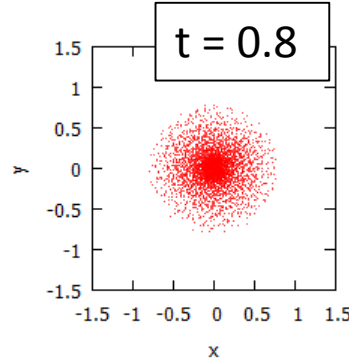
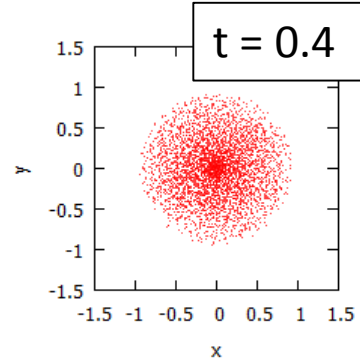
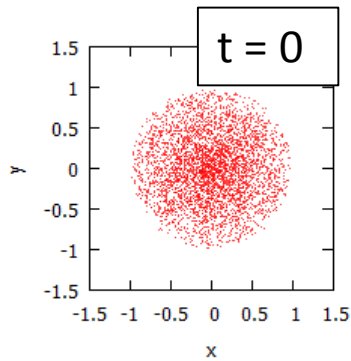
Hernquist & Katz (1988)

$u = r/\epsilon$

ポテンシャルも同様に

# Evrard collapse

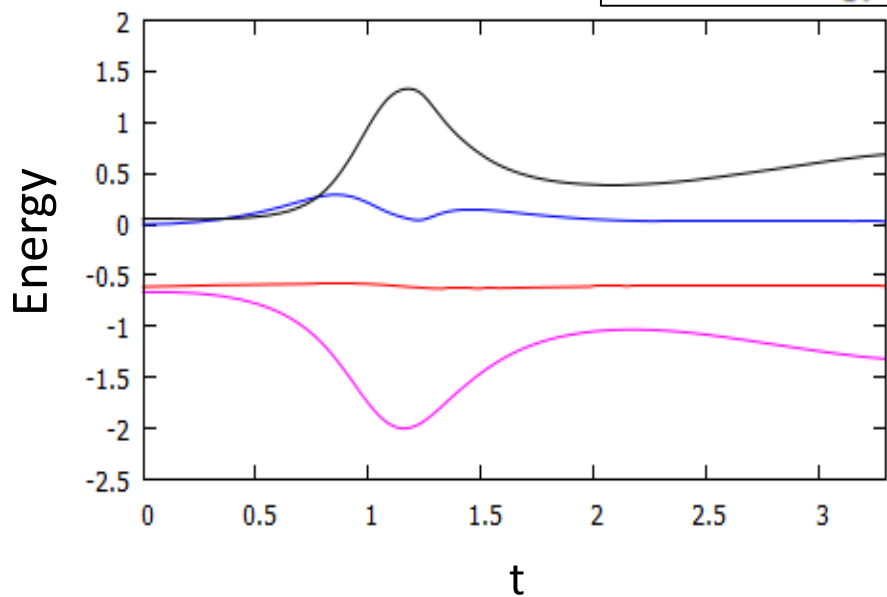
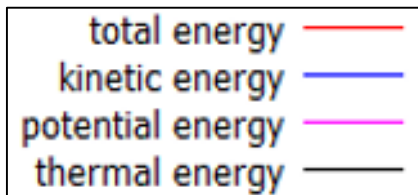
collapse



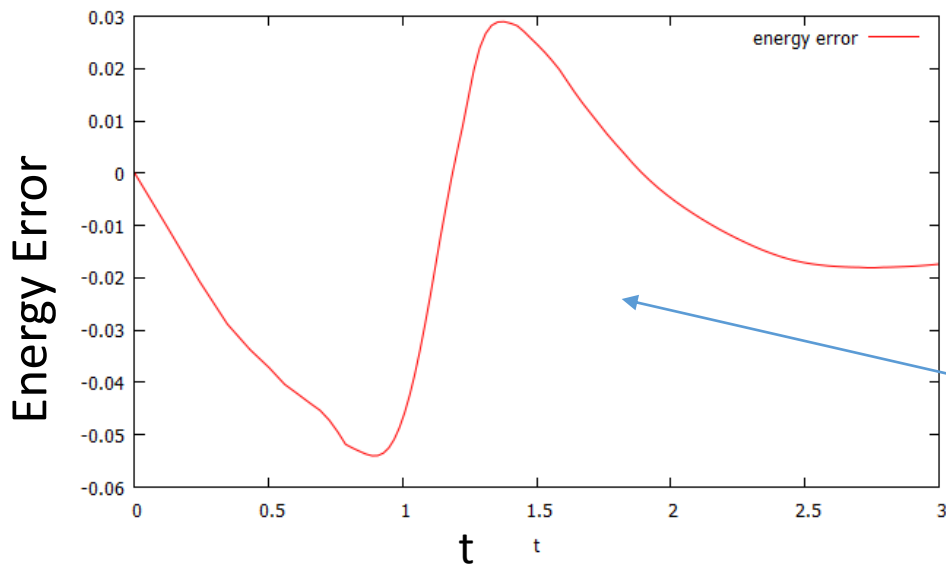
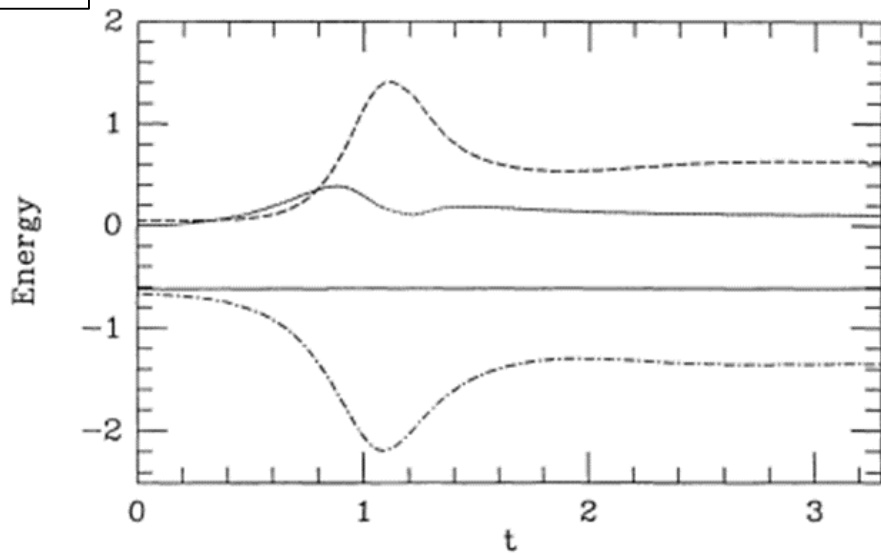
平衡状態



# エネルギー



Hernquist & Katz (1988)



Collapseの前後で誤差が大きくなっている

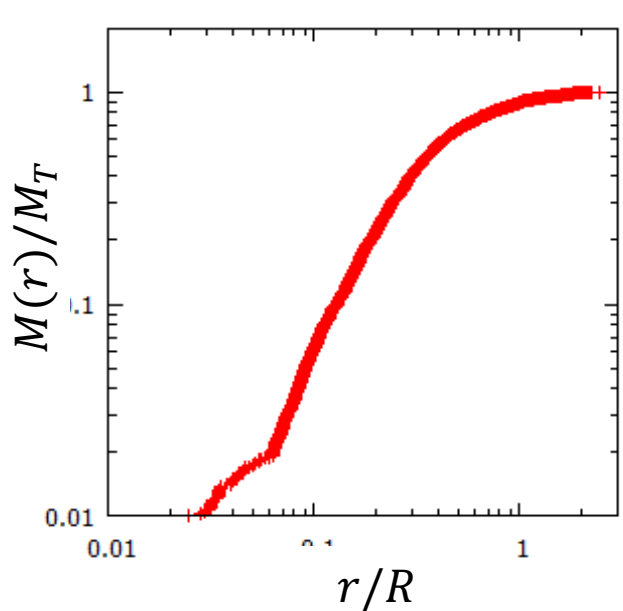
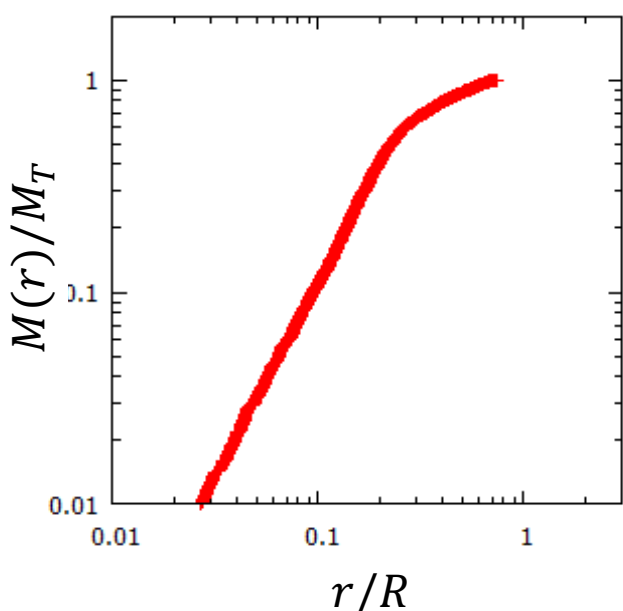
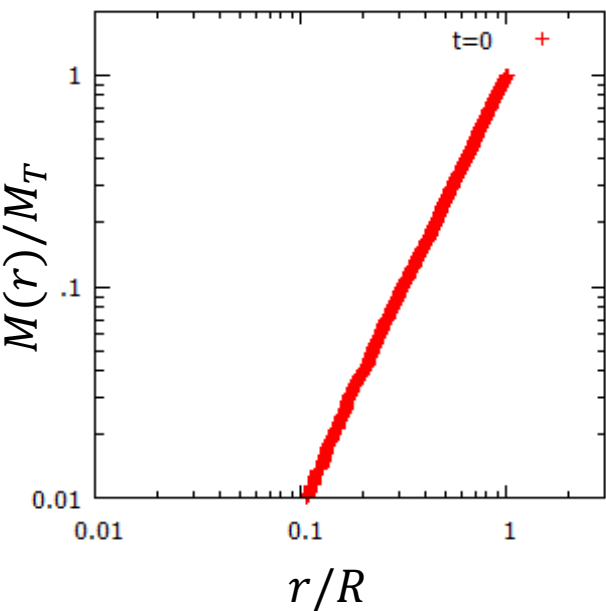
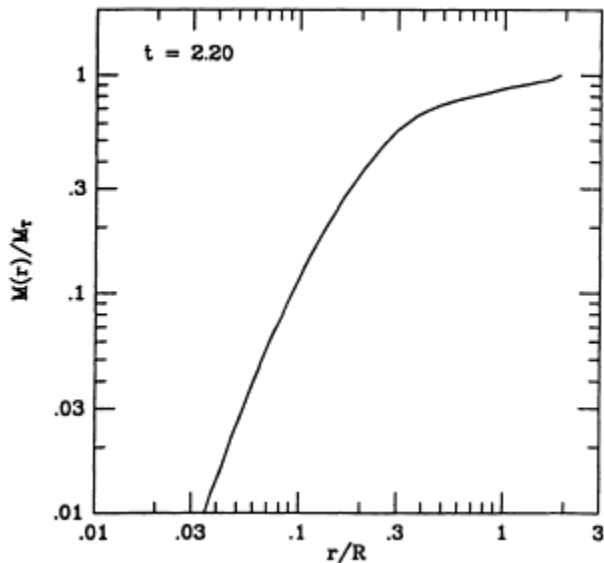
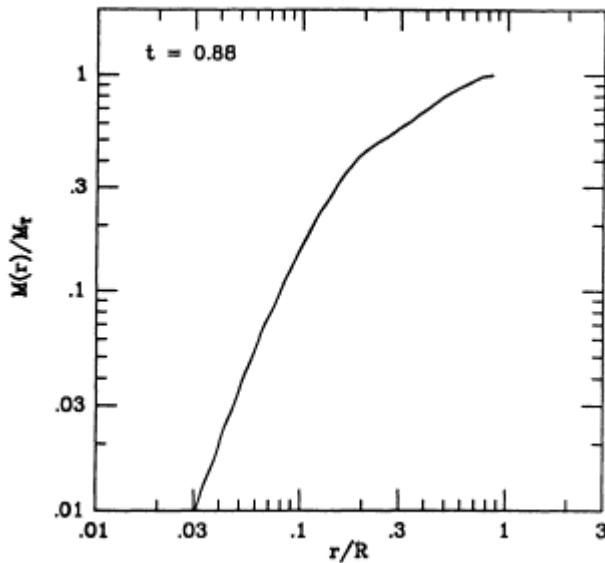
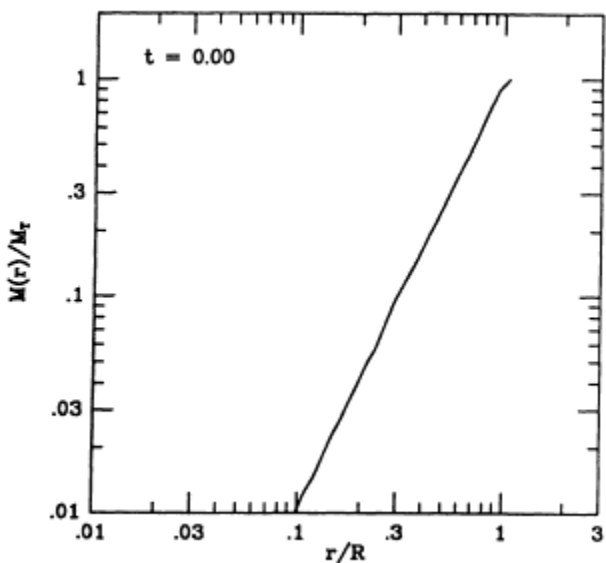
# 質量

上段: Hernquist & Katz (1988)

下段: 自分

左から  $t=0, 0.88, 2.20$ .

ただし  $t$  は自由落下時間  $t_{ff} = (\pi^2/8)^{1/2}$  で割って規格化

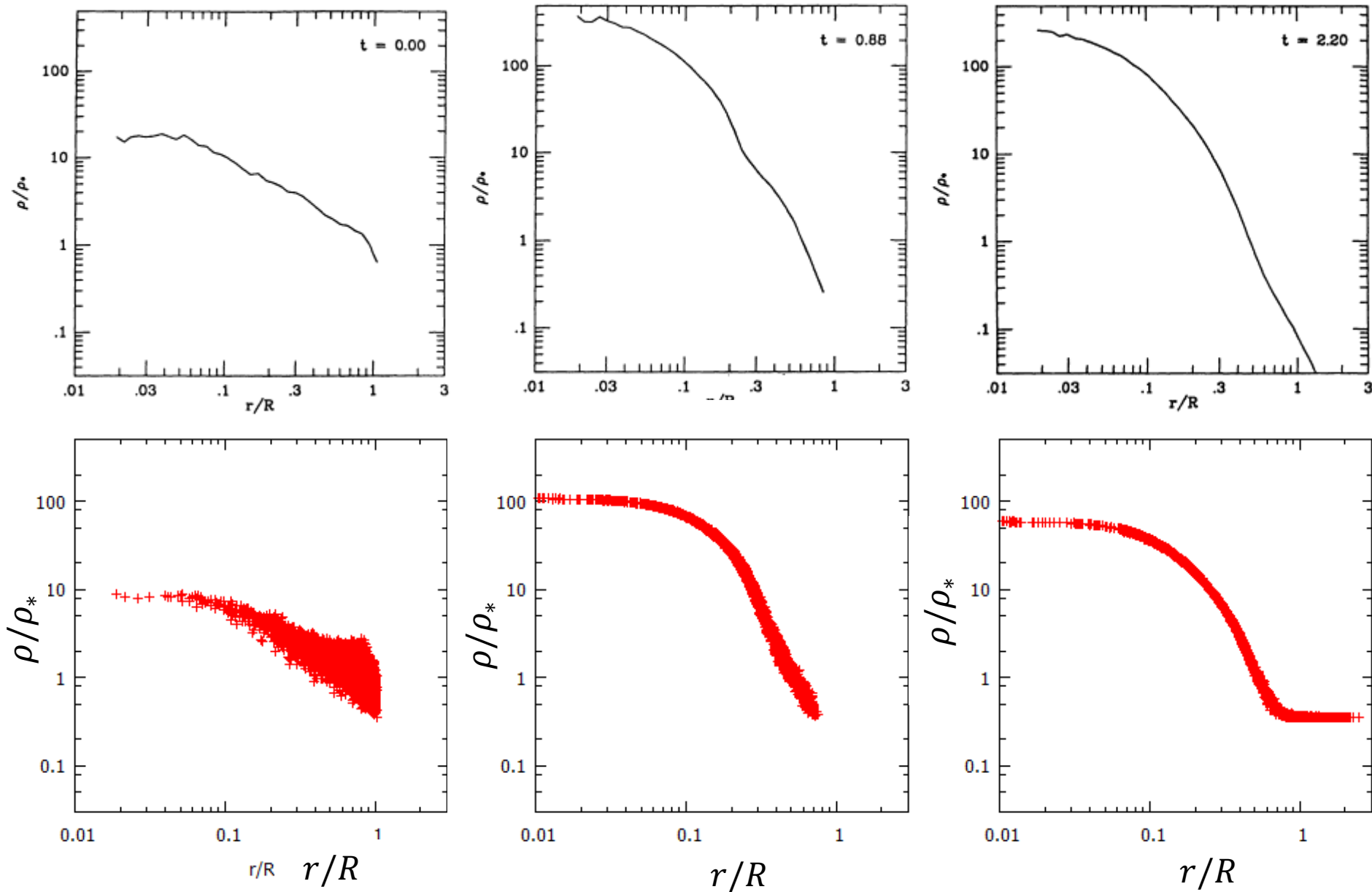


# 密度

$$\rho_* = 3M_T/4\pi R^2$$

左から  $t=0, 0.88, 2.20$ .

ただし  $t$  は自由落下時間  $t_{ff} = (\pi^2/8)^{1/2}$  で割って規格化

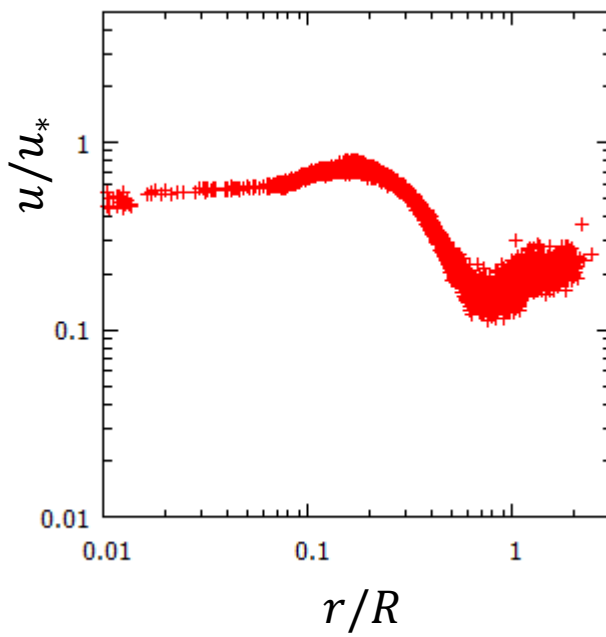
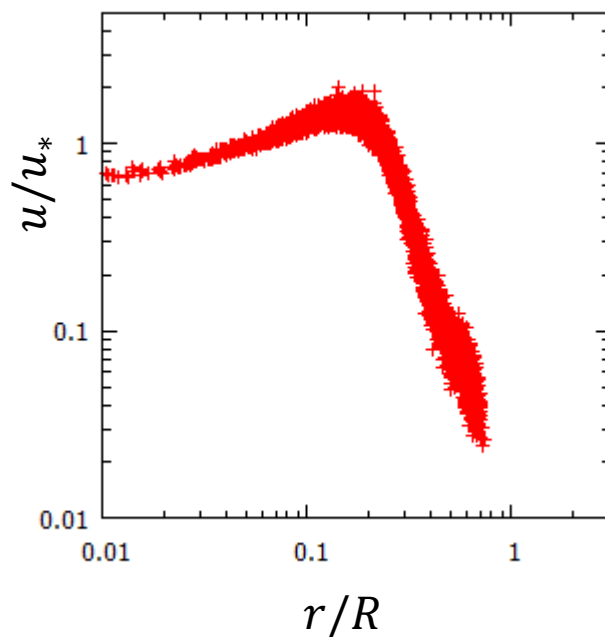
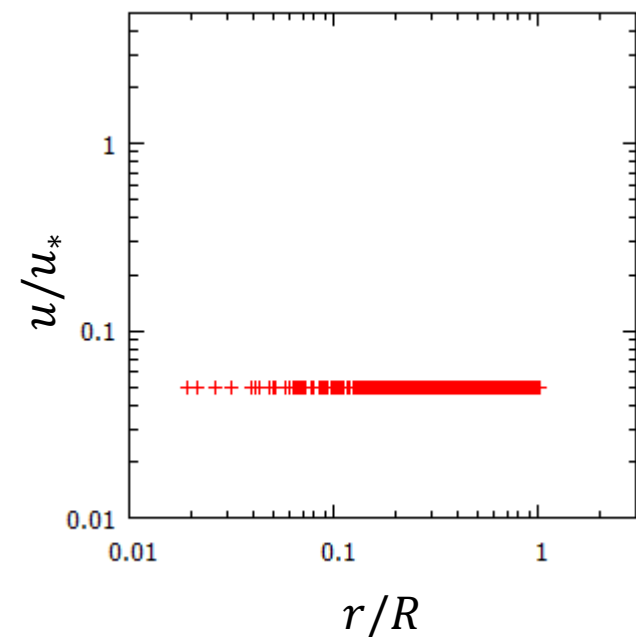
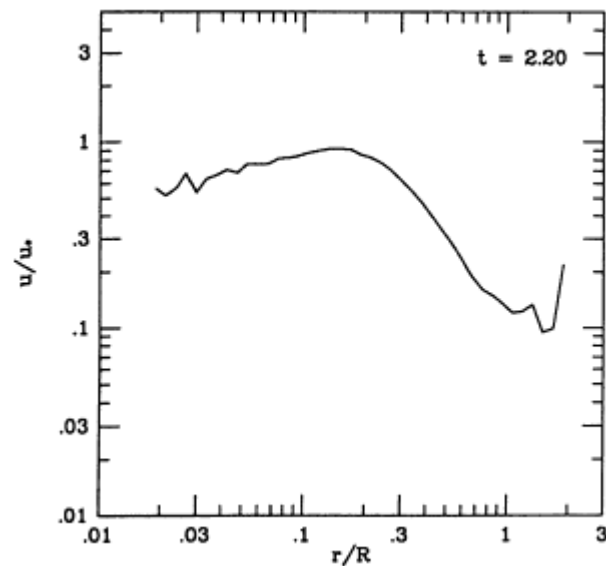
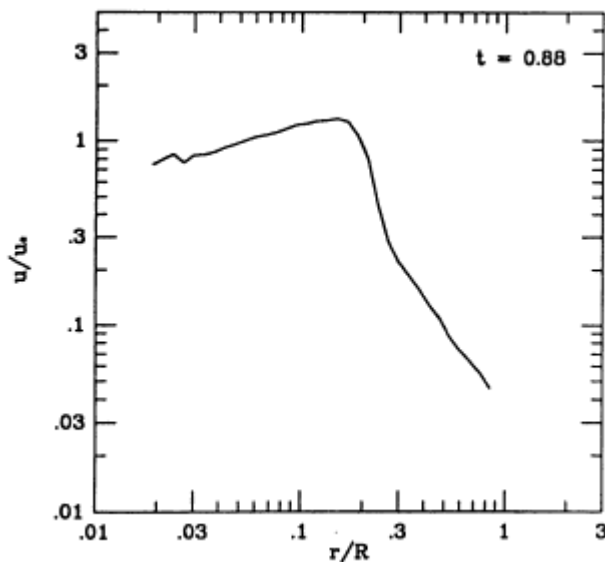
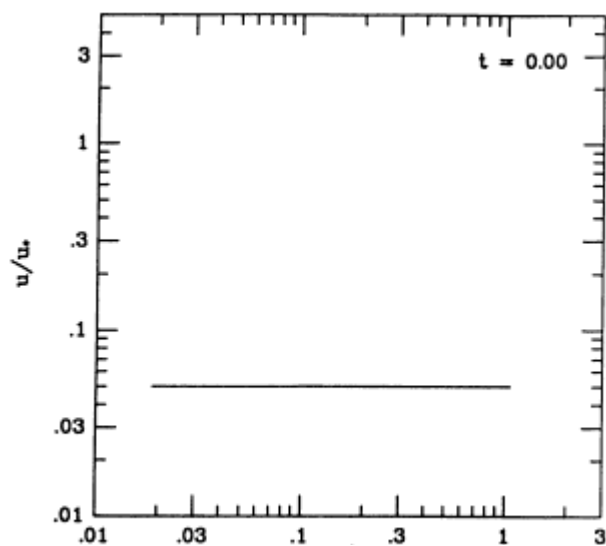


# 熱エネルギー

$$u_* = GM_T/R$$

左から  $t=0, 0.88, 2.20$ .

ただし  $t$  は自由落下時間  $t_{ff} = (\pi^2/8)^{1/2}$  で割って規格化

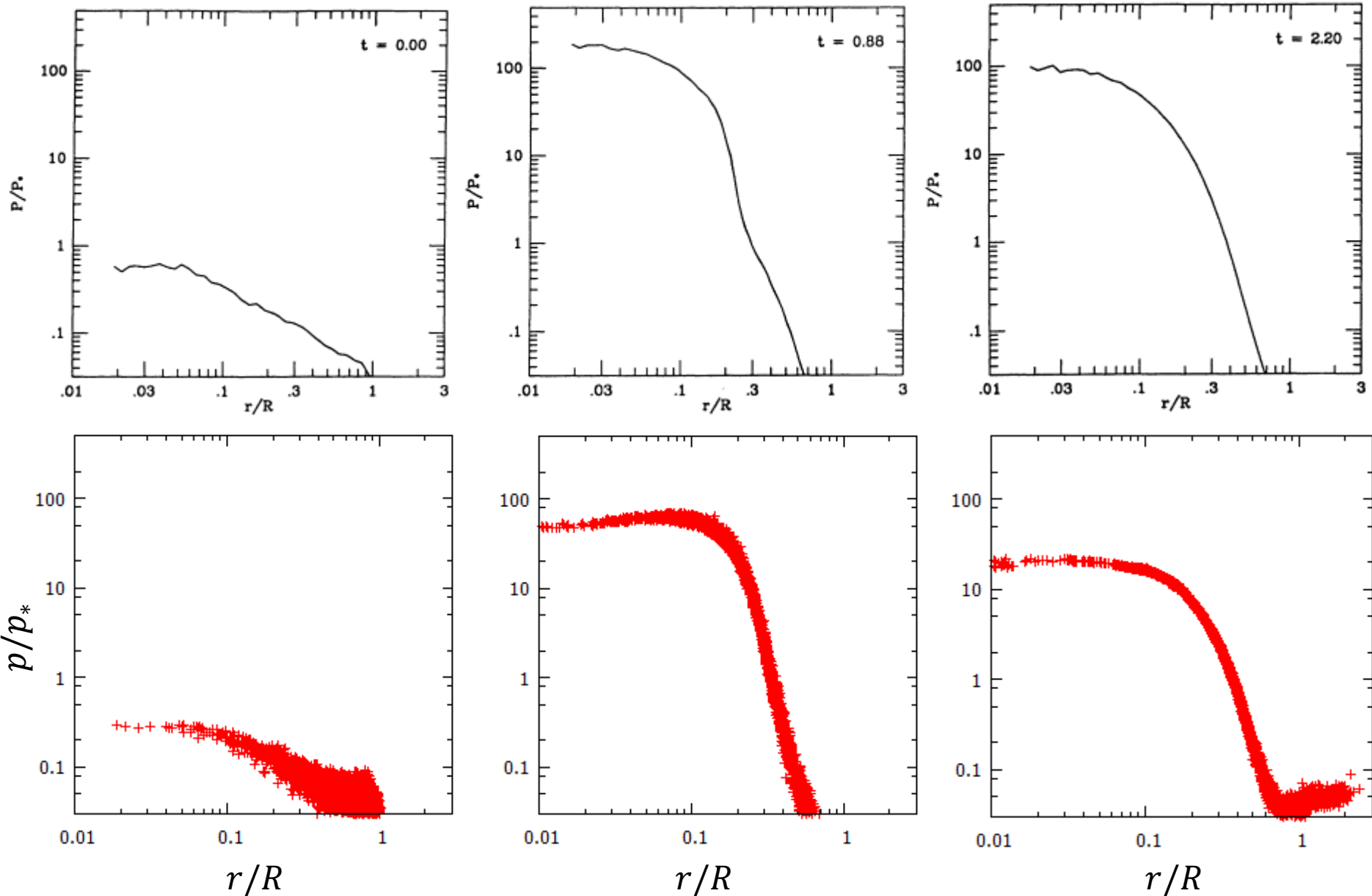


# 圧力

$$p_* = \rho_* u_*$$

左から  $t=0, 0.88, 2.20$ .

ただし  $t$  は自由落下時間  $t_{ff} = (\pi^2/8)^{1/2}$  で割って規格化



# Smoothing length

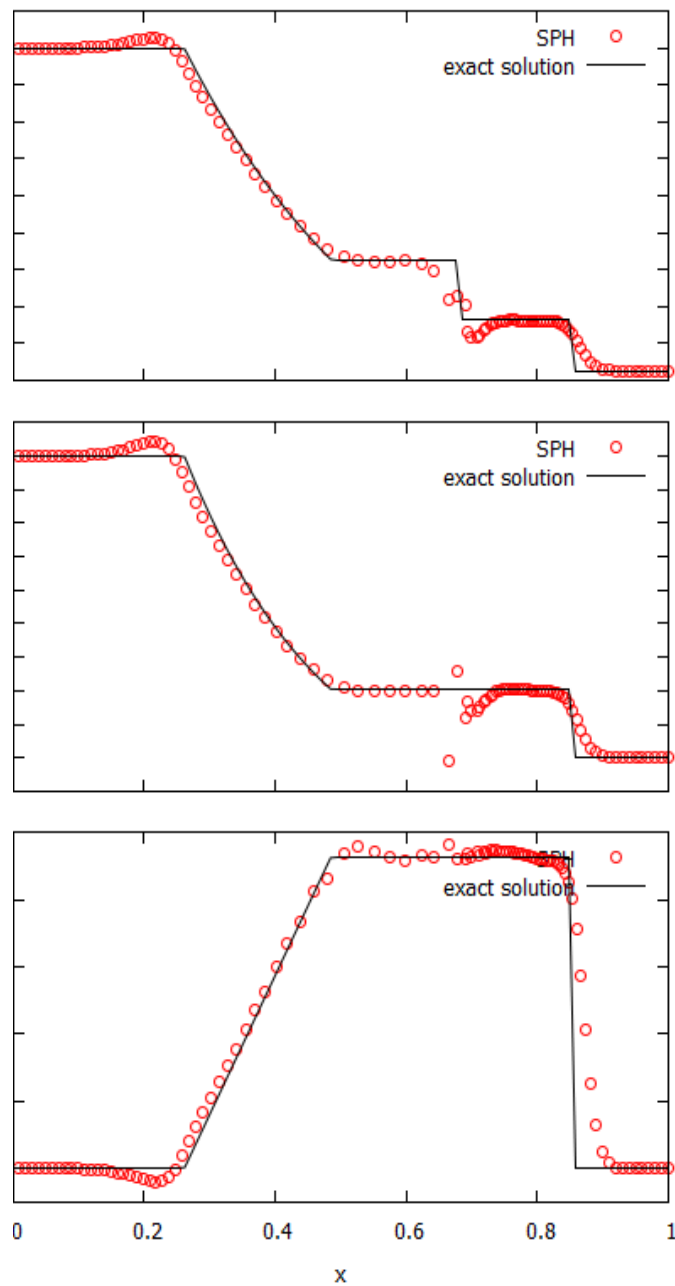
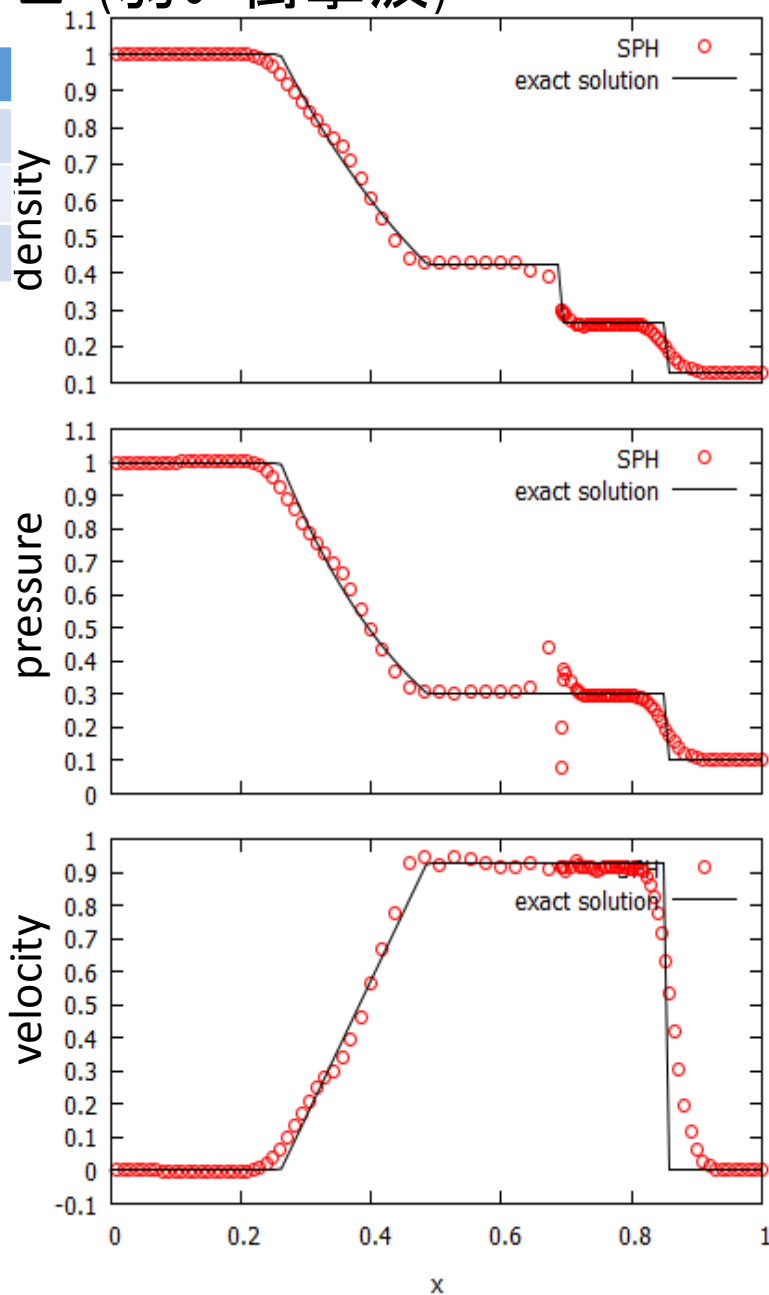
- 時間的・空間的に可変
- $\rho_i h_i^\nu = \text{const.}$  ( $\nu$ : 次元) をNewton法で解く.

# Problem 1 (弱い衝撃波)

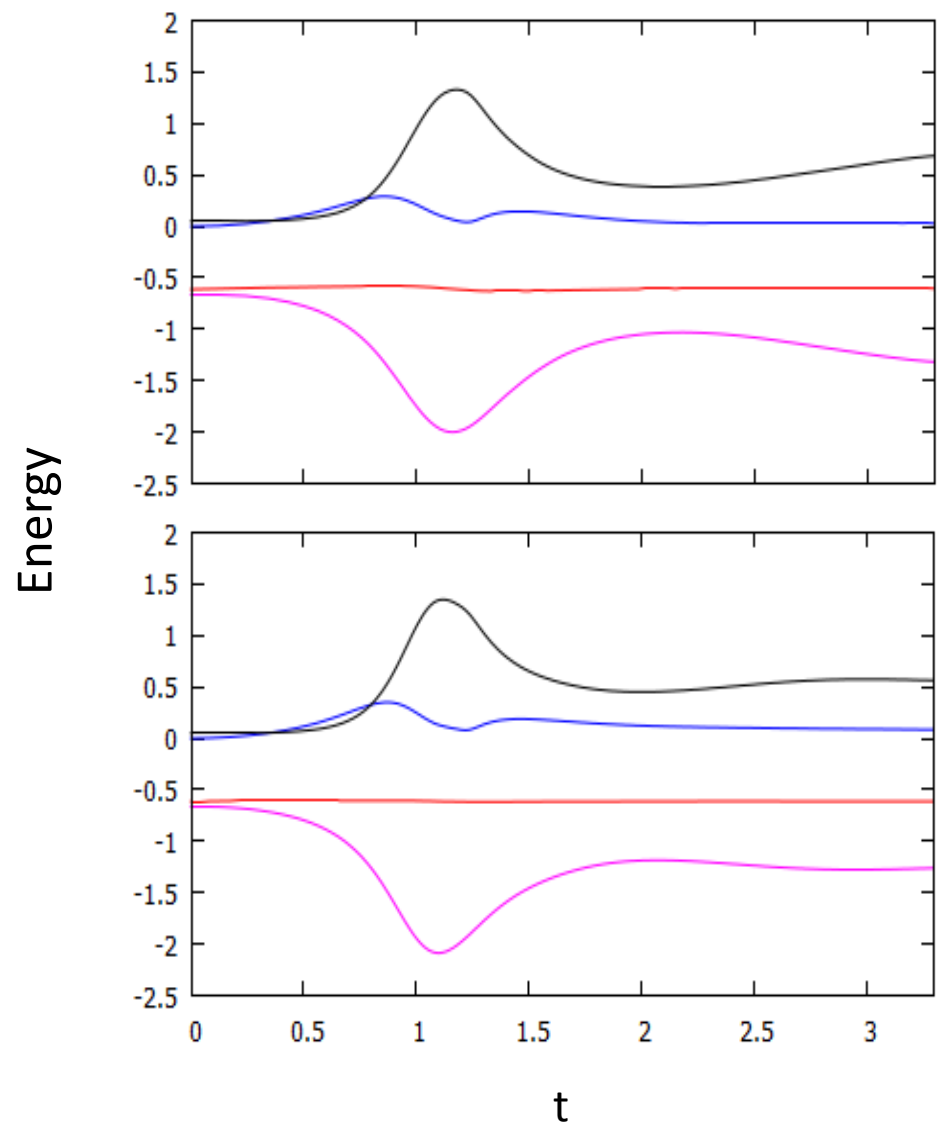
	LEFT	RIGHT
密度	1.0	0.125
圧力	1.0	0.1
速度	0.0	0.0

$$\gamma = 1.4$$

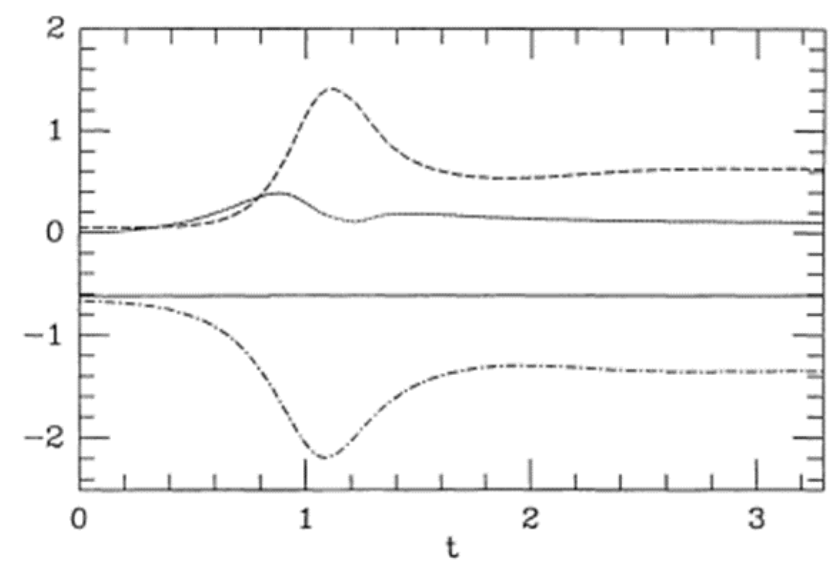
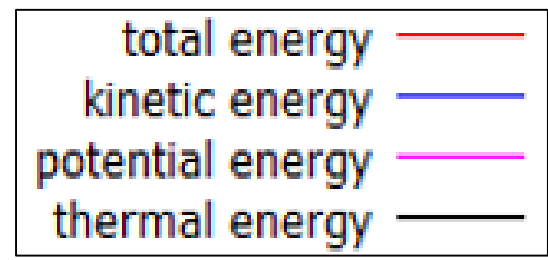
左:  $h$  固定  
右:  $h$  可変



# Evrard collapse



上:  $h$  固定  
下:  $h$  可變



Hernquist & Katz (1988)



# Summary

- SPH法を用いて, 概ね正しく流体の運動を記述することができた. ただし, 課題も.
- 今後の課題
  - ◆(smoothing length を時間的・空間的に固定から可変にする.)
  - ◆時間ステップの見直し
  - ◆近傍粒子の探索にTreeを使用して計算量を抑える.
    - ◆計算量を $O(N^2)$ から $O(N \log N)$ に
  - ◆SPH法 + N体重力計算
  - ◆銀河形成シミュレーション